

COMUNICADO TÉCNICO

132

Campinas, SP Dezembro/2019



Proposta de utilização de uma blockchain para o registro de teores de dextrana na produção de açúcar

Inácio Henrique Yano Alexandre de Castro Geraldo Magela de Almeida Cançado Fábio César da Silva

Proposta de utilização de uma blockchain para o registro de teores de dextrana na produção de açúcar¹

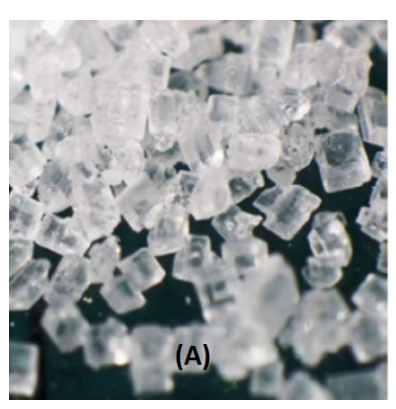
1 Inácio Henrique Yano, tecnólogo em Processamento de Dados e Economista, mestre em Gestão de Redes de Telecomunicações, doutor em Engenharia Agrícola, analista da Embrapa Informática Agropecuária, Campinas, SP. Alexandre de Castro, físico, doutor em Ciências, pesquisador da Embrapa Informática Agropecuária, Campinas, SP. Geraldo Magela de Almeida Cançado, agrônomo, doutor em Genética e Biologia Molecular, pesquisador da Embrapa Informática Agropecuária, Campinas, SP. Fábio Cesar da Silva, engenheiro agrônomo e engenheiro florestal, doutor em Solos e Nutrição de Plantas, pesquisador da Embrapa Informática Agropecuária, Campinas, SP.

Introdução

Dextrana é um polissacarídeo, produzido por bactérias do gênero *Leuconostoc spp*, que ocasiona perda de sacarose e aumento dos custos da fabricação de açúcar, além de diminuir sua qualidade (Silva Neto et al., 2011). A dextrana na produção do açúcar branco causa alteração na polarização, aumento no consumo de cal, aumento

na viscosidade do caldo e redução da transferência de calor, que prejudica a cristalização do açúcar (Sartori et al., 2015) (Figura 1).

Portanto, torna-se importante o controle da proliferação dessa bactéria, tanto nas lavouras de cana-de-açúcar, como na agroindústria. No campo devem ser observados, principalmente, os procedimentos de pré e pós-colheita, pois todas as ações que promovam a deterioração da matéria-prima aumentam



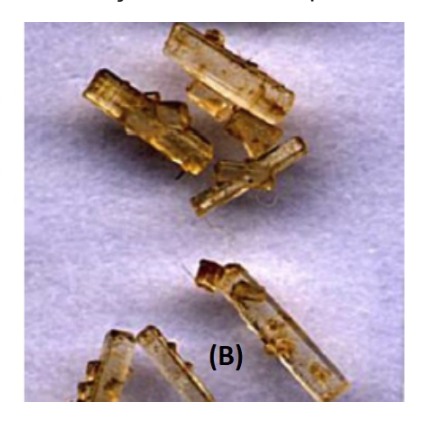


Figura 1. Cristal de açúcar de boa qualidade (A) e cristal de açúcar alongado pela presença de dextrana (B). Fonte: Adaptado de Aquino (2009).

os teores desse polissacarídeo, tais como: a) tempo de permanência entre o corte e o transporte para a indústria; b) queima da cana-de-açúcar, que causa injúrias nos colmos; c) formação de lama devido a chuvas pouco tempo antes das colheitas; e d) presença de impurezas, entre outros fatores. Na indústria devese evitar longos períodos de estocagem. realizando-se planejamentos para que a espera nos pátios não ultrapasse 24 horas, além de cuidar da limpeza e assepsia das moendas e tanques de tratamento do caldo (Martins; Silva, 2012). O registro de teores de dextrana antes e durante a produção do açúcar pode auxiliar no controle da contaminação e avaliação de perdas, tanto nos processos produtivos, como na qualidade do produto final. O objetivo deste trabalho é propor a utilização da tecnologia blockchain para a realização desses registros. que por se tratar de um banco de dados distribuído é adequado para aplicações como esta, onde, para um maior controle do processo, a matéria-prima necessita ser fidedignamente rastreada do campo até a produção do açúcar.

Desenvolvimento

Este trabalho propõe o rastreamento da dextrana nas diferentes fases do processo produtivo da cana-de-açúcar, que neste primeiro estudo foram resumidas em quatro etapas, conforme Figura 2.

Em cada etapa do processo produtivo será registrado o teor de dextrana, juntamente com a data e hora da coleta da amostra, sendo que na pré e póscolheita também serão coletados dados sobre queima da cana-de-açúcar no caso de colheita manual, além da data e hora do transporte. Esta proposta de sistema foi desenvolvida no Ambiente de Desenvolvimento Integrado (IDE) Remix² (Figura 3), que é uma plataforma web própria para confecção de contratos inteligentes na linguagem Solidity para Redes Ethereum Blockchain (Yano et al., 2018; Ethereum, 2019). A aplicação desenvolvida também é chamada de contrato inteligente, neste caso teve o nome de Dextrana.sol e foi desenvolvido na versão 0.4.2, isto pode ser visto na Figura 3 que apresenta a interface da IDE Remix, na aba "Compile".

² Disponível em: http://remix.ethereum.org/>.



Figura 2. Etapas Selecionadas do Processo Produtivo do Açúcar.

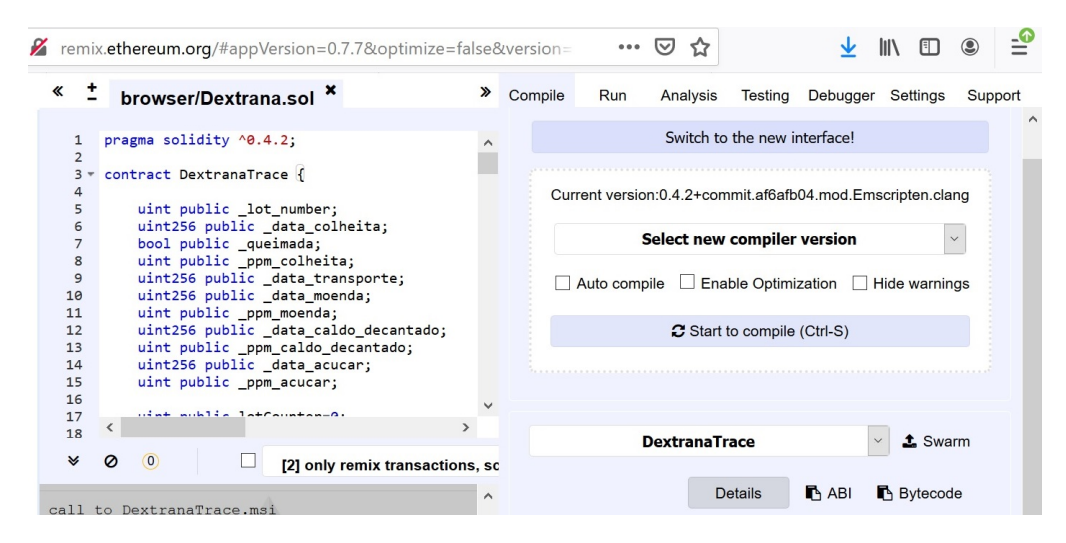


Figura 3. Ambiente de Desenvolvimento Integrado Remix.

Uma vez compilado o contrato inteligente pode ser implementado e testado utilizando-se a aba "Run". Ainda na Figura 3, no lado esquerdo, podem ser vistas as variáveis utilizadas para gravar os dados do processo produtivo do açúcar nesta proposta, número do lote, datas da colheita, do transporte, da moenda, do tratamento para decantação do caldo e da fabricação do açúcar, também serão registrados outros dados, tais como, se a cana foi queimada antes da colheita, e a quantidade de dextrana em partes por milhão (ppm) na colheita, na moenda, no tratamento para decantação do caldo e na fabricação do açúcar.

Para cada variável é criada uma função para a inserção do valor dessa variável (Figura 4), assim como foram criadas as funções de Colheita (Figura 5) e Transporte para a fase de Pré e Pós-Colheita, de Extração para a fase de Extração, Tratamento para a fase de

Tratamento e Concentracao para a fase de Concentração do processo produtivo, que gravam dados em uma estrutura de dados (Figura 6), que é mapeada utilizando-se o número do lote para consultas aos dados gravados.

A Figura 4 mostra, como exemplo, o código para inserção do número do lote. A Figura 5 mostra o código para gravar os dados da colheita, que inclui o número do lote (lot number), o teor de dextrana (ppm colheita), a data da colheita (data colheita), se houve queima antes da colheita (queimada) e a conta do usuário que registrou a operação (msg. sender), que é uma informação obtida da rede Ethereum. Além desses dados serem gravados da estrutura de dados, também ficam registrados na transação realizada para fins de consulta e auditoria (event LogColheita). A Figura 6 mostra os itens da estrutura de dados, bem como, o comando para mapeamento e consulta dos dados gravados (mappinq(uint => DextranaInf) public msi:).

```
function set_lot_number(uint sln) public returns(uint) {

lot_number = sln;

return _lot_number;
}
```

Figura 4. Função para inserção do número do lote.

```
event LogColheita(address sender, uint lot number, bool lcq, uint256 ldc, uint l
122
123
124 -
          function Colheita () public returns(bool success) {
             if (_lot_number==0) throw;
125
126
             if (_ppm_colheita ==0) throw;
127
             if (_data_colheita < 20190101) throw;
128
129
             _lot_number = _lot_number;
130
             msi[_lot_number].sender = msg.sender;
131
             msi[_lot_number].lot_number = _lot_number;
132
             msi[ lot number].data colheita = data colheita;
             msi[ lot number].queimada = queimada;
133
134
             msi[_lot_number].ppm_colheita = _ppm_colheita;
135
             LogColheita(msg.sender, _lot_number, _queimada, _data_colheita, _ppm_colheit
136
137
138
             return true;
139
```

Figura 5. Função para gravar os dados de colheita.

```
104 =
         struct DextranaInf {
105
             address sender;
106
              uint lot number;
107
              uint256 data colheita;
             bool queimada;
108
109
             uint ppm_colheita;
110
              uint256 data_transporte;
111
             uint ppm_transporte;
112
             uint256 data_moenda;
113
             uint ppm moenda;
             uint256 data_caldo_decantado;
114
115
              uint ppm_caldo_decantado;
116
              uint256 data acucar;
117
             uint ppm_acucar;
118
119
120
         mapping(uint => DextranaInf) public msi;
```

Figura 6. Estrutura e mapeamento dos dados a serem gravados.

Resultados

A execução do contrato inteligente ocorre na aba "Run" da IDE Remix, que fornece cinco contas de usuários para facilitar as simulações e testes do contrato inteligente (Figura 7).

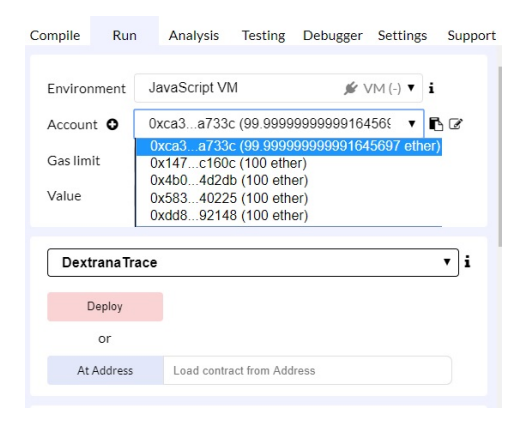


Figura 7. Aba "Run" da IDE Remix.

O contrato inteligente estará pronto para uso após um clique no botão "Deploy". Após a implementação do contrato inteligente a IDE Remix cria um botão para cada função para servirem de interface com o contrato inteligente para inserir os dados e executar as gravações de dados (Figura 8).

Uma vez inseridos e gravados, os dados podem ser consultados utilizando-se o número do lote, conforme mostrado na Figura 9.



Figura 8. Funções para inserção de dados e gravação dos mesmos na estrutura de dados do contrato inteligente DextranaTrace.



Figura 9. Consulta aos dados do lote 123.

Considerações Finais

O trabalho aqui apresentado é uma proposta de Aplicação Descentralizada (Dapp) provida por uma infraestrutura blockchain, com as vantagens de segurança criptográfica próprias que este tipo de plataforma pode proporcionar. A adoção de um modelo de rastreamento do tipo blockchain, que se inicia com coleta de dados ainda no campo acompanhando a transformação da cana-de-açúcar em açúcar em diversas fases do processo produtivo, permite o acompanhamento e atuação pontual em momentos de alta contaminação, além de feedback de práticas de controle já adotadas.

Referências

AQUINO, F. W. B. de. **Dextranas em açúcares e em aguardentes de cana**. 2009. 128 p. Tese (Doutorado em Ciências) - Universidade de São Paulo, Instituto de Química, São Carlos.

MARTINS, T.; SILVA, F. C. da. A formação de dextrana na cana-de-açúcar e seus impactos na agroindústria sucroenergética. **Alcoolbrás**, v. 137, p. 50-61, 2012.

SARTORI, J. A. de S.; MAGRI; N. T. C.; AGUIAR, C. L. de. Clarificação de caldo de cana-de-açúcar por peróxido de hidrogênio: efeito da presença de dextrana. **Brazilian Journal of Food Technology**, v. 18, n. 4, p. 299-306, out./dez. 2015. DOI: http://dx.doi. org/10.1590/1981-6723.4215.

SILVA NETO, H. F.; MARQUES, M. O.; TASSO JÚNIOR, L. C.; LEBRE, A. C. P. Teores de polissacarídeos em diferentes partes do colmo de cana-de-açúcar (cultivares CTC 9, CTC 15 e CTC 16). **Enciclopédia Biosfera**, v. 7, n. 12, p. 1-8, 2011. Disponível em: http://www.conhecer.org.br/enciclop/2011a/agrarias/teores%20de%20 polissacarideos.pdf>. Acesso em: 26 set. 2019.

YANO, I. H.; SANTOS, E. H. dos; CASTRO, A. de; BERGIER, I.; SANTOS, P. M.; OLIVEIRA, S. R. de M.; ABREU, U. G. P. de. Modelo de rastreamento bovino via Smart Contracts com tecnologia Blockchain. Campinas: Embrapa Informática Agropecuária, 2018. 21 p. (Embrapa informática Agropecuária. Comunicado técnico, 130).

Exemplares desta edição podem ser adquiridos na:

Embrapa Informática Agropecuária

Av. Dr. André Tosello, 209 - Cidade Universitária Campinas, SP, Brasil CEP. 13083-886 Fone: (19) 3211-5700

www.embrapa.br www.embrapa.br/fale-conosco/sac

> 1ª edição Versão digital (2019)







Comitê Local de Publicações da Unidade Responsável

Presidente Stanley Robson de Medeiros Oliveira

Secretário-Executivo Carla Cristiane Osawa

Adriana Farah Gonzalez; Carla Geovana do Nascimento Macário; Jayme Garcia Arnal Barbedo; Kleber Xavier Sampaio de Souza; Luiz Antonio Falaguasta Barbosa; Magda Cruciol; Paula Regina Kuser Falcão; Ricardo Augusto Dante e Sônia Ternes

> Suplentes Goran Nesic e Michel Yamagishi

Supervisão editorial Kleber Xavier Sampaio de Souza

> Adriana Farah Gonzalez Normalização bibliográfica

Revisão de texto

Carla Cristiane Osawa
Projeto gráfico da coleção
Carlos Eduardo Felice Barbeiro

Editoração eletrônica Felipe Prado Jaconi sob supervisão de Magda Cruciol

> Foto da capa Pexels